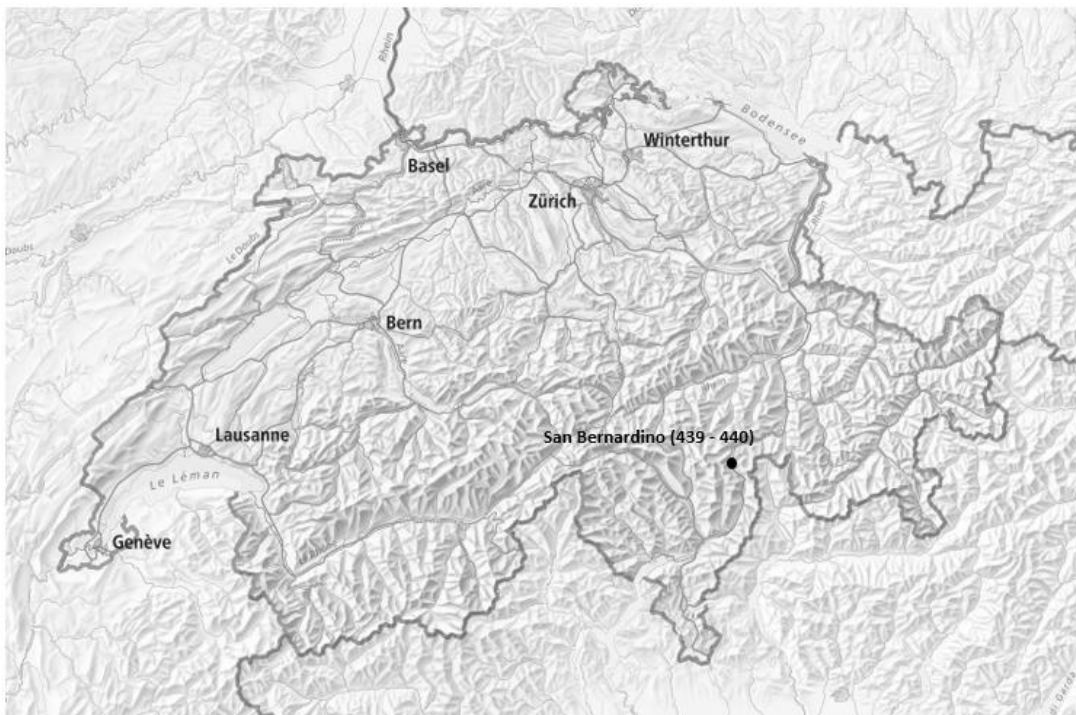




San Bernardino - 2017

Evaluation et traitement des données WIM



Impressum

Département fédéral de l'environnement, des transports, de l'énergie et de la communication DETEC

Office fédéral des routes OFROU

Division Réseaux routiers

Trafic & Innovations Management

Monitoring du trafic

Document

Document WIM_2017_439_440

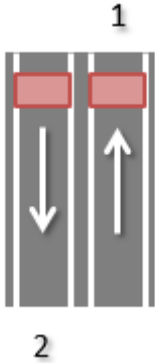
Version 1

Créé le 31.10.2018 – MAF

Table des matières

	Impressum	2
1	Fiche de station	4
2	Intégrité des données	5
3	Traitements statistiques	6
3.1	Répartition horaire annuelle	6
3.2	Répartition horaire annuelle HV (> 10 tonnes)	7
3.3	Répartition horaire journalière	8
3.4	Détection de véhicules	10
3.4.1	Par mois	10
3.4.2	Par nombre d'axes	11
3.4.3	Par classes SWISS10	11
3.4.4	Par tranches de masse	12
3.4.5	Silhouettes prédominantes.....	12
4	Modèle selon norme SN 640 320	13
4.1	Répartition entre les voies de circulation	13
4.2	Facteurs d'équivalence par classes de véhicules	13
4.3	Facteurs d'équivalence par catégories de véhicules	13
4.4	Facteur d'équivalence moyen	14
4.5	Classe de trafic pondéral équivalent actuelle selon SN 640 324.....	14
4.6	Tendance pour l'estimation du taux d'accroissement annuel	14
5	Caractéristiques des poids lourds	15
5.1	Caractéristiques des catégories de poids lourds	15
5.2	Caractéristiques globales de l'échantillon	19
6	Modèle selon norme SIA 261	21
6.1	Modèle de charge 1 selon SIA 261	21
6.1.1	Charge concentrée Q	21
6.1.2	Charge répartie q	21
7	Tendances.....	22
7.1	Evolution de la répartition horaire annuelle.....	22
7.2	Evolution de la détection par mois	24
7.3	Evolution du modèle de la norme SN 640 320	25
7.3.1	Evolution des facteurs d'équivalence par classes de véhicules	25
7.3.2	Evolution des facteurs d'équivalence par catégories de véhicules.....	26
7.3.3	Evolution du facteur d'équivalence moyen	26
7.3.4	Evolution du trafic pondéral équivalent journalier	26
7.4	Evolution du modèle de la norme SIA 261.....	27
7.4.1	Evolution des quantiles de la charge concentrée Q	27
7.4.2	Evolution des quantiles de la charge répartie q	28
8	Niveau de confiance	29
	Bibliographie	30

1 Fiche de station

Station	Canton	RN	N° ASTRA	Filiale	UT	Directions	Voies
San Bernardino	GR	A13	439 / 440	F5	V	2	2x1
Situation							
				Direction 1 : 439 - Direction Coire Direction 2 : 440 - Direction Bellinzone			
Enregistrements							
Type de fichiers :		Fichiers journaliers					
Format de fichiers :		WIM_ ANNEEMOISJOUR_NoASTRA.extension					
Extension de fichiers :		*.csv					
Filtre poids véhicules :		-					
Classification SWISS :		SWISS10					

Fichier de données	
Fichiers journaliers manquants	
Perte potentielle de données	09.08.2017 – 05 : 28 à 08 : 37 (440)
<i>Evènements particuliers</i>	
<i>Décisions</i>	
<i>Concaténation</i>	
Nom de fichiers :	2017_439_concat.log ; 2017_440_concat.log ;
Nombre d'enregistrements :	1'369'239 (439) ; 1'344'842 (440)
Nombre de jours effectifs :	365 (439) ; 364.9 (440)

2 Intégrité des données

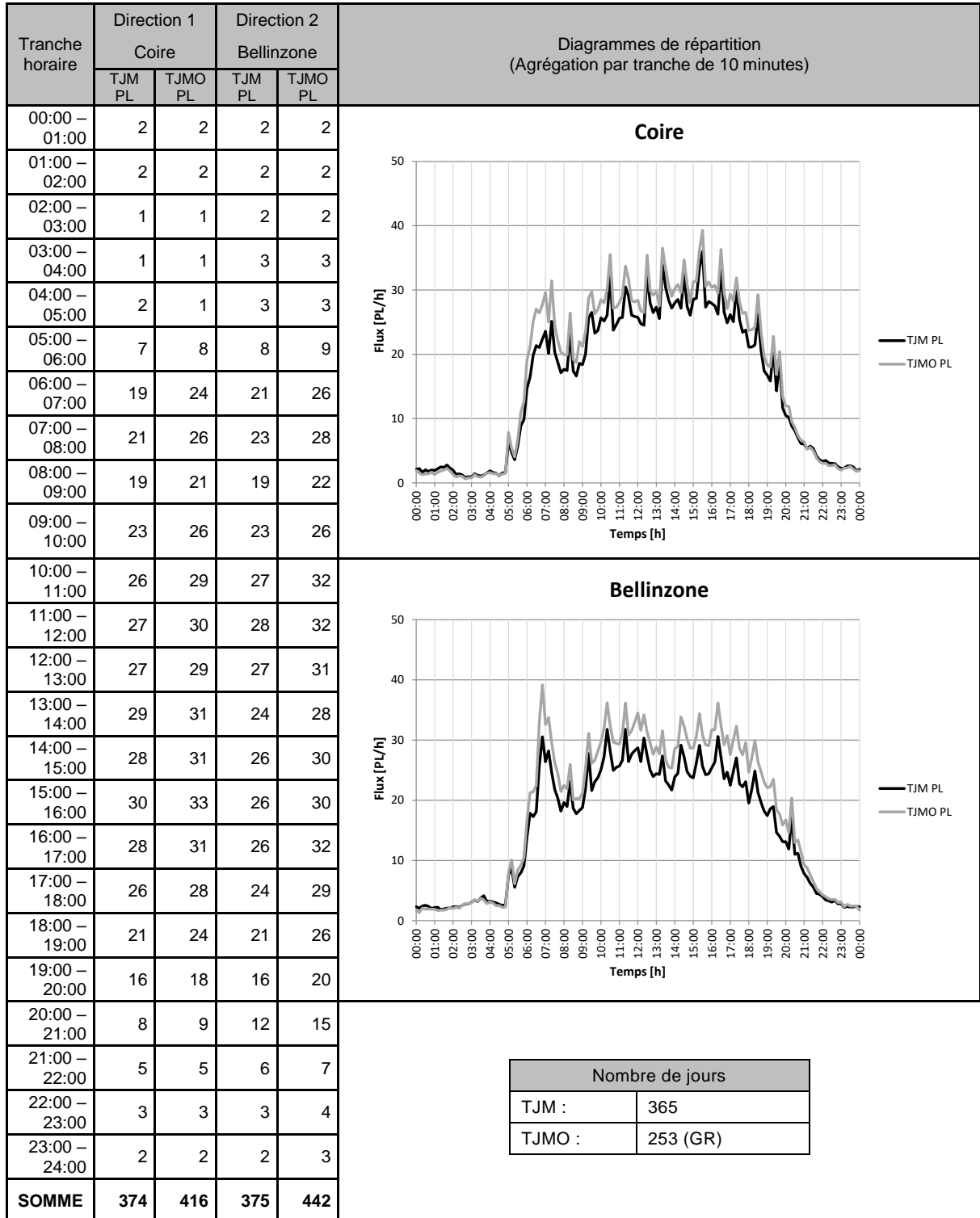
Documents de référence : [5] [6] [7] [8] [9] [10] [11]

Filtre des données (démarche pas à pas)	
1)	Véhicules de moins de 3.5 tonnes (2'430'508 enregistrements).
2)	144'318 enregistrements direction D1. 139'255 enregistrements direction D2.
3)	Longueur totale nulle (0 enregistrements).
4)	Longueur totale supérieure à 26.00m (418 enregistrements).
5)	Poids nul sur un des axes (0 enregistrements).
6)	Entraxe inférieur à 60cm (8'210 enregistrements).
7)	Poids total supérieur à 65 tonnes (405 enregistrements, hors grues mobiles).
8)	Poids sur un axe supérieur à 18 tonnes (114 enregistrements, hors grues mobiles).
9)	Longueur inférieure à 4.00m (964 enregistrements).
<i>Décisions</i>	
1)	Exclusion (2017_439_440_u3500.log).
2)	-
3)	-
4)	Exclusion.
5)	-
6)	Exclusion.
7)	Exclusion.
8)	Exclusion.
9)	Exclusion.
<i>Fichiers</i>	
Nom de fichier de traitement statistique :	2017_439_440.log
Nombre d'enregistrements :	273'462
Nom de fichier d'exclusions :	2017_439_440_exclus.log
Nombre d'enregistrements :	10'111

Sur un total de 2'714'081 enregistrements, 2'430'508 ont été séparés en raison de leur appartenance aux véhicules légers (< 3.5 tonnes) et 10'111 enregistrements (3.57%) ont été exclus du jeu de données de base en raison d'incohérences potentielles de données.

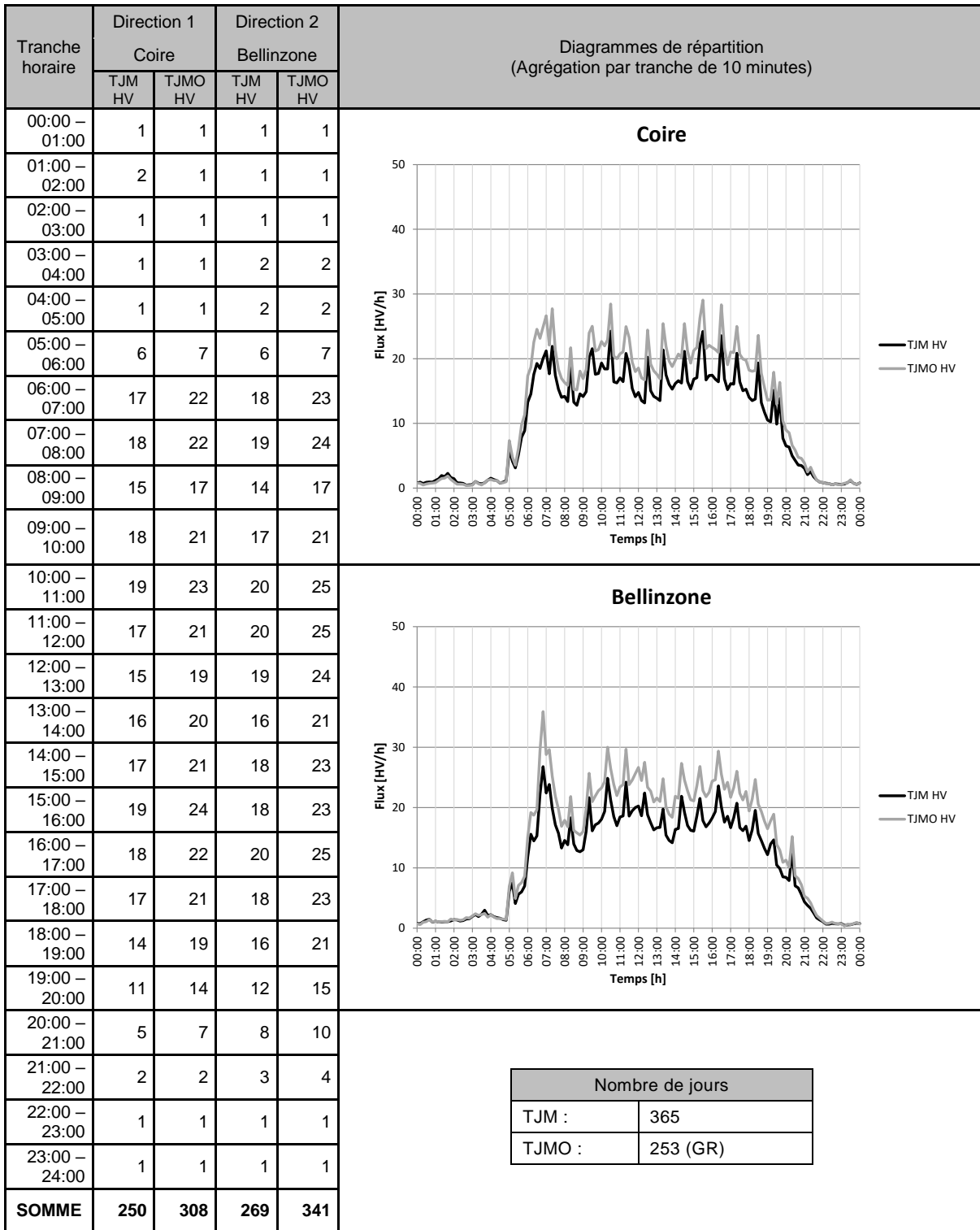
3 Traitements statistiques

3.1 Répartition horaire annuelle



Remarque : Le calcul des répartitions horaires prend en compte l'intégrité des données (jours manquants et pertes de données).

3.2 Répartition horaire annuelle HV (> 10 tonnes)

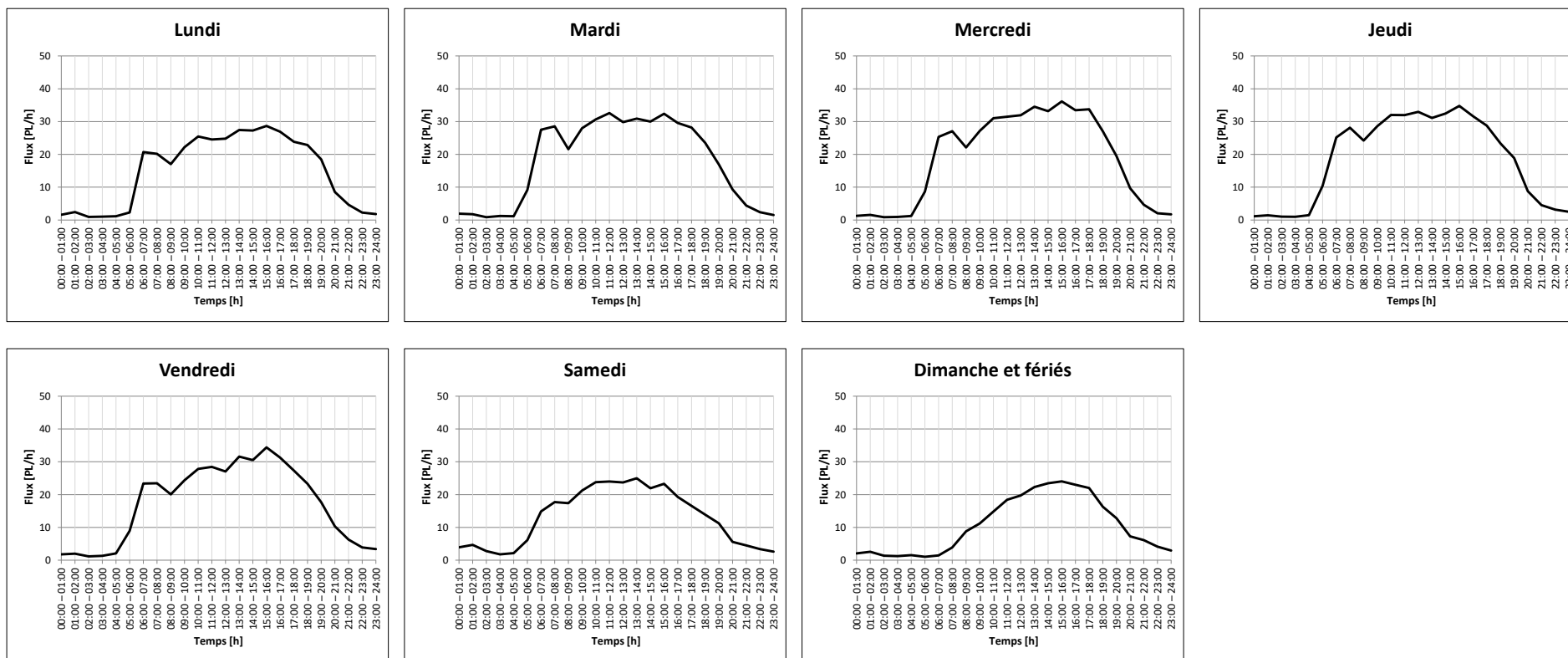


Remarque : Le calcul des répartitions horaires prend en compte l'intégrité des données (jours manquants et pertes de données).

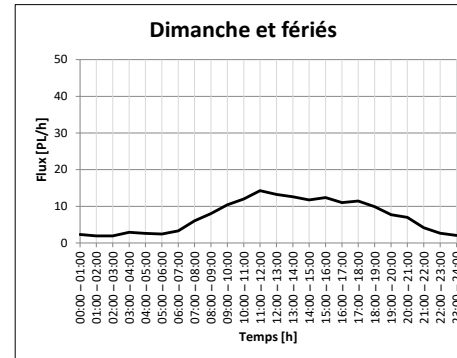
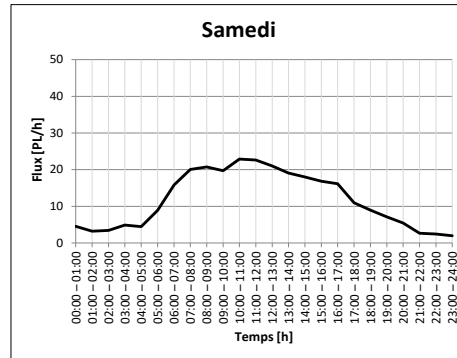
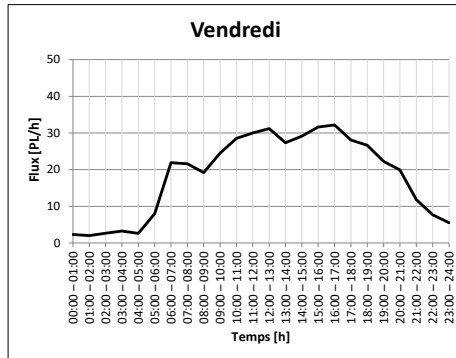
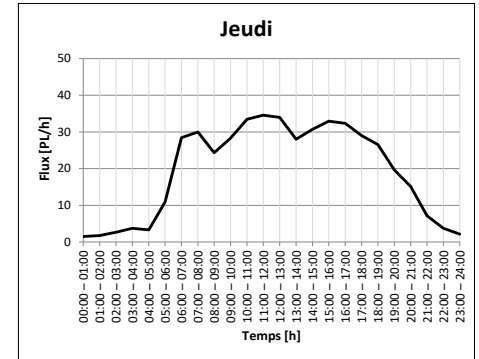
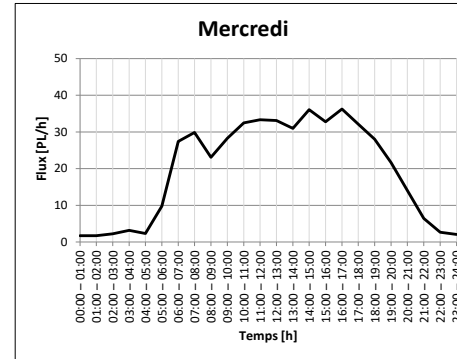
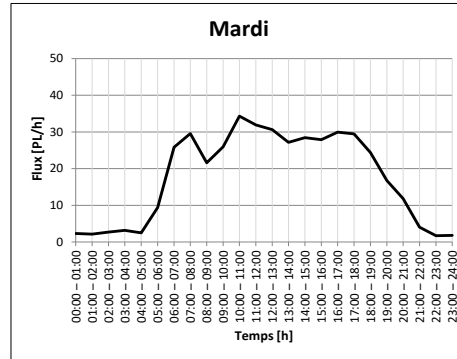
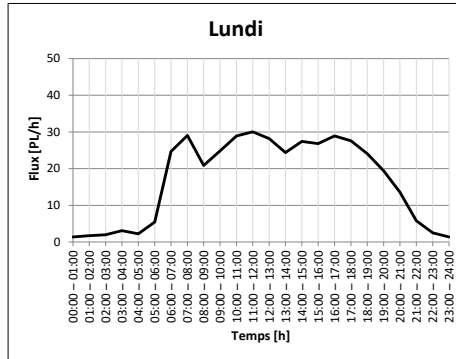
3.3 Répartition horaire journalière

Jours	Lundi	Mardi	Mercredi	Jeudi	Vendredi	Samedi	Dimanche et fériés
Nombre (GR)	49	50	52	51	51	52	60

Direction 1 : Coire (Agrégation par heure)



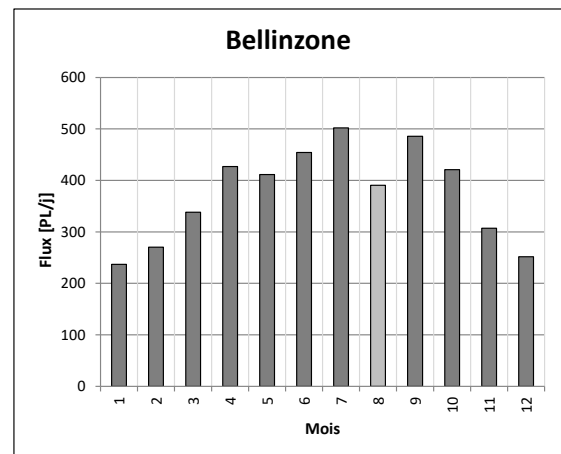
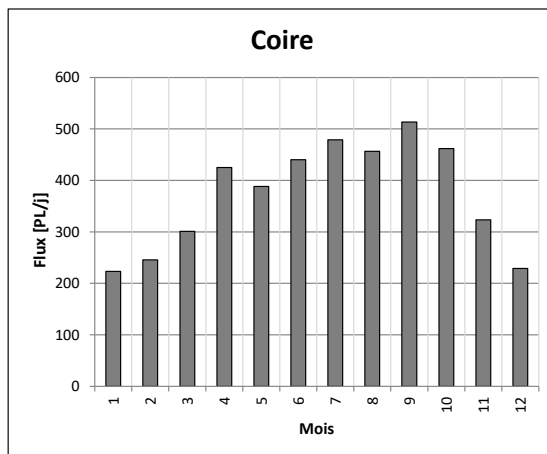
Direction 2 : Bellinzona (Agrégation par heure)



3.4 Détection de véhicules

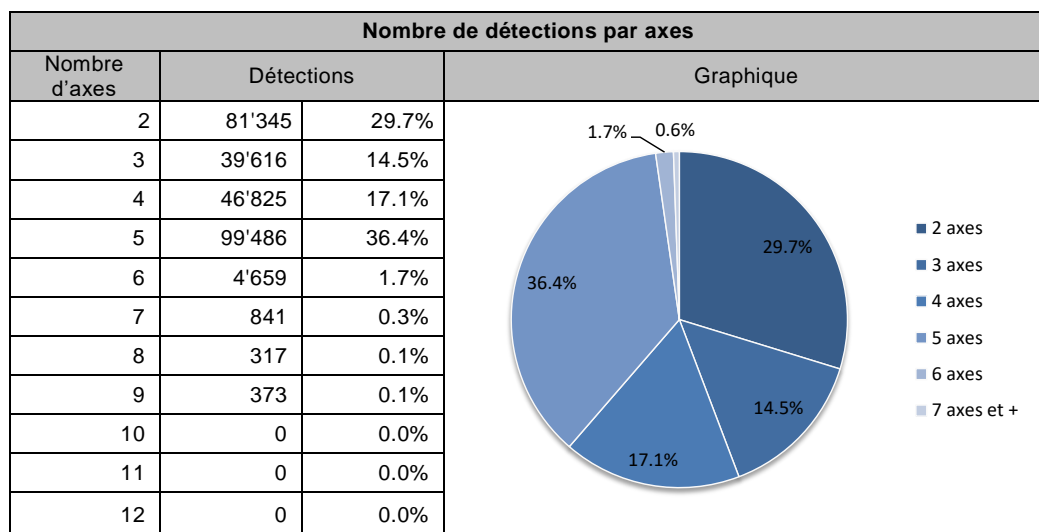
3.4.1 Par mois

Nombre de détections par mois		
Mois	Direction 1 : Coire	Direction 2 : Bellinzone
Janvier	6'921	7'342
Février	6'884	7'565
Mars	9'327	10'481
Avril	12'747	12'805
Mai	12'036	12'757
Juin	13'028	13'623
Juillet	14'850	15'559
Août	14'150	12'062
Septembre	15'405	14'572
Octobre	14'312	13'047
Novembre	9'699	9'210
Décembre	7'098	7'802



Remarque : Le calcul des répartitions mensuelles prend en compte l'intégrité des données (jours manquants et pertes de données). Mois d'août (440) : valeurs de détections non estimées, valeurs journalières estimées.

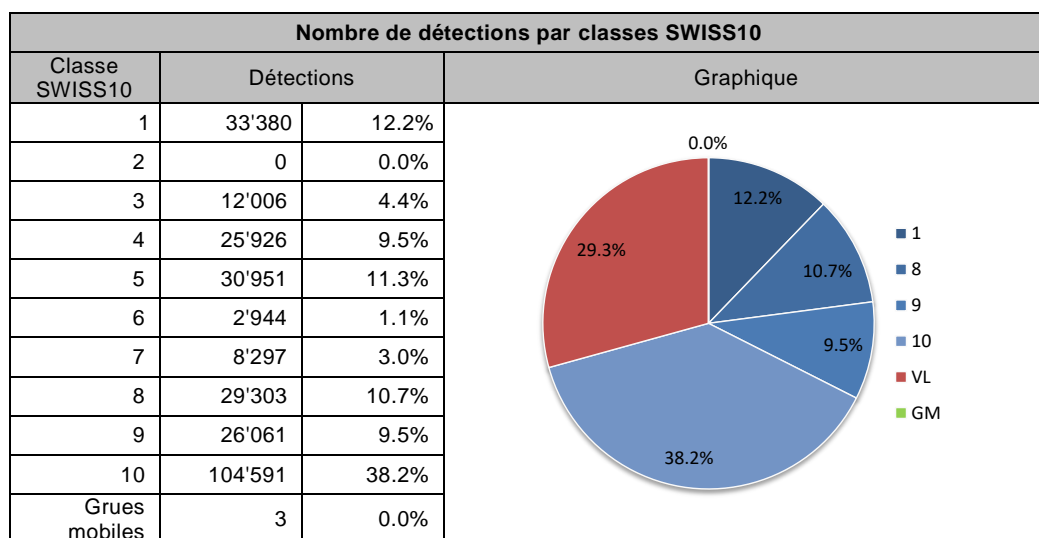
3.4.2 Par nombre d'axes



3.4.3 Par classes SWISS10

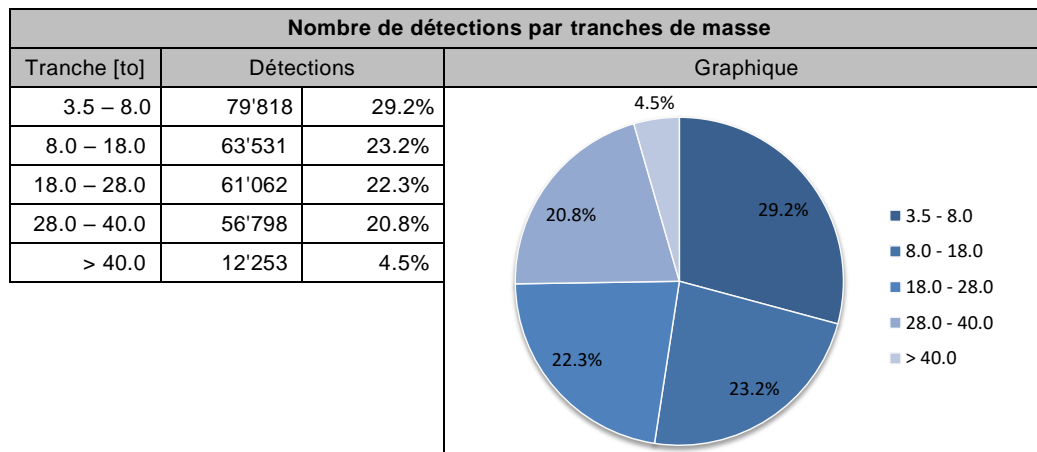
Classes de véhicules Swiss 10 [4]

Saisie des classes selon le schéma «Swiss 10 »	Saisie pour le comptage suisse de la circulation routière (CSCR)	Saisie pour la gestion du trafic
2 : Motocycle	2 : Motocycle	1 : Véhicules assimilables à des VT (véhicules < 3.5 t)
3 : Voiture de tourisme	3 : Voiture de tourisme	
4 : Voiture de tourisme avec remorque		
5 : Voiture de livraison	4 : Voiture de livraison	
6 : Voiture de livraison avec remorque		
7 : Voiture de livraison avec galerie		
1 : Bus, car	1 : Bus, car	2 : Véhicules assimilables à des camions (véhicules > 3.5 t)
8 : Camion	5 : Camion	
9 : Train routier	6 : Train articulé + véhicule articulé	
10 : Véhicule articulé		



On constate que 80'124 enregistrements (classes 2 à 7, 29.3%) sont classifiés parmi les catégories assimilables aux véhicules légers alors que leurs enregistrements font référence à des véhicules lourds.

3.4.4 Par tranches de masse



3.4.5 Silhouettes prédominantes

Selon [6] : « Est décrite comme classe prédominante du trafic poids lourds toute silhouette dont la part se monte à plus de 1% du nombre total de poids lourds »

Silhouettes prédominantes					
Configuration		Silhouette	SWISS10	Détections	
S/S/Tr	0 - - - - 0 + - - - - 000		10	72'026	26.3%
S/S	Non-cohérent			36'467	13.3%
S/S	0 - - - - 0		1	25'615	9.4%
S/S	0 - - - - 0		8	19'072	7.0%
S/S/Ta	0 - - - - 0 + - - - - 00		10	19'014	7.0%
S/S/S	Non-cohérent			17'414	6.4%
S/S/Ta	Non-cohérent			11'927	4.4%
S/S/Tr	Non-cohérent			9'432	3.4%
S/Ta	Non-cohérent			7'872	2.9%
S/S/Ta	0 - - - - 0 + - - - 00 - -		9	7'008	2.6%
S/Ta/S/S	0 - - - - 00 + 0 - - - - 0		9	6'483	2.4%
S/Ta	0 - - - - 00		1	6'044	2.2%
S/Ta	0 - - - - 00		8	4'255	1.6%
S/S/S/S	0 - - - - 0 + 0 - - - - 0		9	3'856	1.4%
S/Ta/Ta	0 - - - - 00 + - - - 00 - -		9	3'531	1.3%
Autres silhouettes selon SN 640 320					
S/S/S	0 - - - - 0 + - - 0 - -		10	1'607	0.6%
S/S/S/S	0 - - - - 0 + - - - 0 - 0		10	865	0.3%
S/S/S/Ta	0 - - - - 0 + 0 - - - 00		9	382	0.1%
Ta/Tr	00 - - 000		Non-classé (8)	194	0.1%
Ta/Ta	00 - - - 00		8	48	0.0%

Légendes : S : essieu simple, Ta : essieu tandem, Tr : essieu tridem







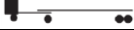






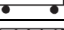
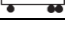
4 Modèle selon norme SN 640 320

Documents de référence : [1] [2] [6] [12]

4.1 Répartition entre les voies de circulation

Répartition entre les voies de circulation			
Configuration	Direction 1 : Coire	Direction 2 : Bellinzone	Sur la base de :
2x1 voies	50.0%	50.0%	Nombre de détections
	50.0%	50.0%	Masse totale
	49.4%	50.6%	Trafic pondéral équivalent total W

4.2 Facteurs d'équivalence par classes de véhicules

Facteurs d'équivalence k moyen par classes de véhicules						
Silhouette	Chaussées souples et semi-rigides			Chaussées rigides et combinées		
	Direction 1 : Coire	Direction 2 : Bellinzone	Norme 2011	Direction 1 : Coire	Direction 2 : Bellinzone	Norme 2011
	0.51	0.57	0.7	0.50	0.53	0.6
	0.94	0.92	1.4	1.25	1.16	2.1
	0.70	0.92	1.5	1.21	1.56	2.7
	2.56	1.41	1.9	5.94	3.04	3.0
	0.94	1.11	0.5	0.89	1.03	0.5
	1.62	1.63	1.7	1.59	1.59	1.8
	1.40	1.15	1.8	1.47	1.16	2.2
	2.78	2.42	2.0	3.63	3.07	2.2
	1.85	1.76	2.0	1.83	1.74	1.9
	2.50	3.71	1.7	2.75	4.35	1.6
	3.25	2.43	1.3	3.45	2.67	1.0
	1.70	1.86	2.5	2.07	2.21	2.6
	1.50	1.47	1.2	2.15	2.07	0.9
	2.23	2.54	0.7	2.37	2.70	0.6
	0.87	1.05	1.4	1.18	1.42	2.1

4.3 Facteurs d'équivalence par catégories de véhicules

Facteurs d'équivalence k moyen par catégories de véhicules						
Catégorie SWISS10	Chaussées souples et semi-rigides			Chaussées rigides et combinées		
	Direction 1 : Coire	Direction 2 : Bellinzone	Norme 2011	Direction 1 : Coire	Direction 2 : Bellinzone	Norme 2011
1 : Bus, car	1.96	2.25	2.3	2.12	2.45	2.3
8 : Camion	0.60	0.65	0.9	0.65	0.68	1.0
9 : Train routier	1.97	2.42	1.9	2.33	2.83	2.0
10 : Véhicule articulé	2.50	2.07	1.7	3.21	2.56	2.0

4.4 Facteur d'équivalence moyen

Facteurs d'équivalence k moyen pour le type de route / Part sur échantillon de données						
Données	Chaussées souples et semi-rigides			Chaussées rigides et combinées		
	Direction 1 : Coire	Direction 2 : Bellinzone	Norme 2011	Direction 1 : Coire	Direction 2 : Bellinzone	Norme 2011
Silhouettes (2-6 axes)	1.50	1.54	1.6	1.87	1.85	1.7
	98.8%	99.6%		98.8%	99.6%	
Catégories	2.04	2.00		2.51	2.37	
	65.0%	65.0%		65.0%	65.0%	
Classes	2.05	2.01		2.51	2.38	
	62.8%	62.9%		62.8%	62.9%	

4.5 Classe de trafic pondéral équivalent actuelle selon SN 640 324

Chaussées souples et semi-rigides

Direction 1 : Coire

$$TF_0 = \frac{136'637 \text{ PL}}{365 \text{ jours}} \cdot 1.50 = 564 \text{ ESAL/jour} \rightarrow \text{Trafic de classe T4 : Lourd}$$

Direction 2 : Bellinzone

$$TF_0 = \frac{136'825 \text{ PL}}{364.9 \text{ jours}} \cdot 1.54 = 794 \text{ ESAL/jour} \rightarrow \text{Trafic de classe T4 : Lourd}$$

Chaussées rigides et combinées

Direction 1 : Coire

$$TF_0 = \frac{136'637 \text{ PL}}{365 \text{ jours}} \cdot 1.87 = 700 \text{ ESAL/jour} \rightarrow \text{Trafic de classe T4 : Lourd}$$

Direction 2 : Bellinzone

$$TF_0 = \frac{136'825 \text{ PL}}{364.9 \text{ jours}} \cdot 1.85 = 954 \text{ ESAL/jour} \rightarrow \text{Trafic de classe T4 : Lourd}$$

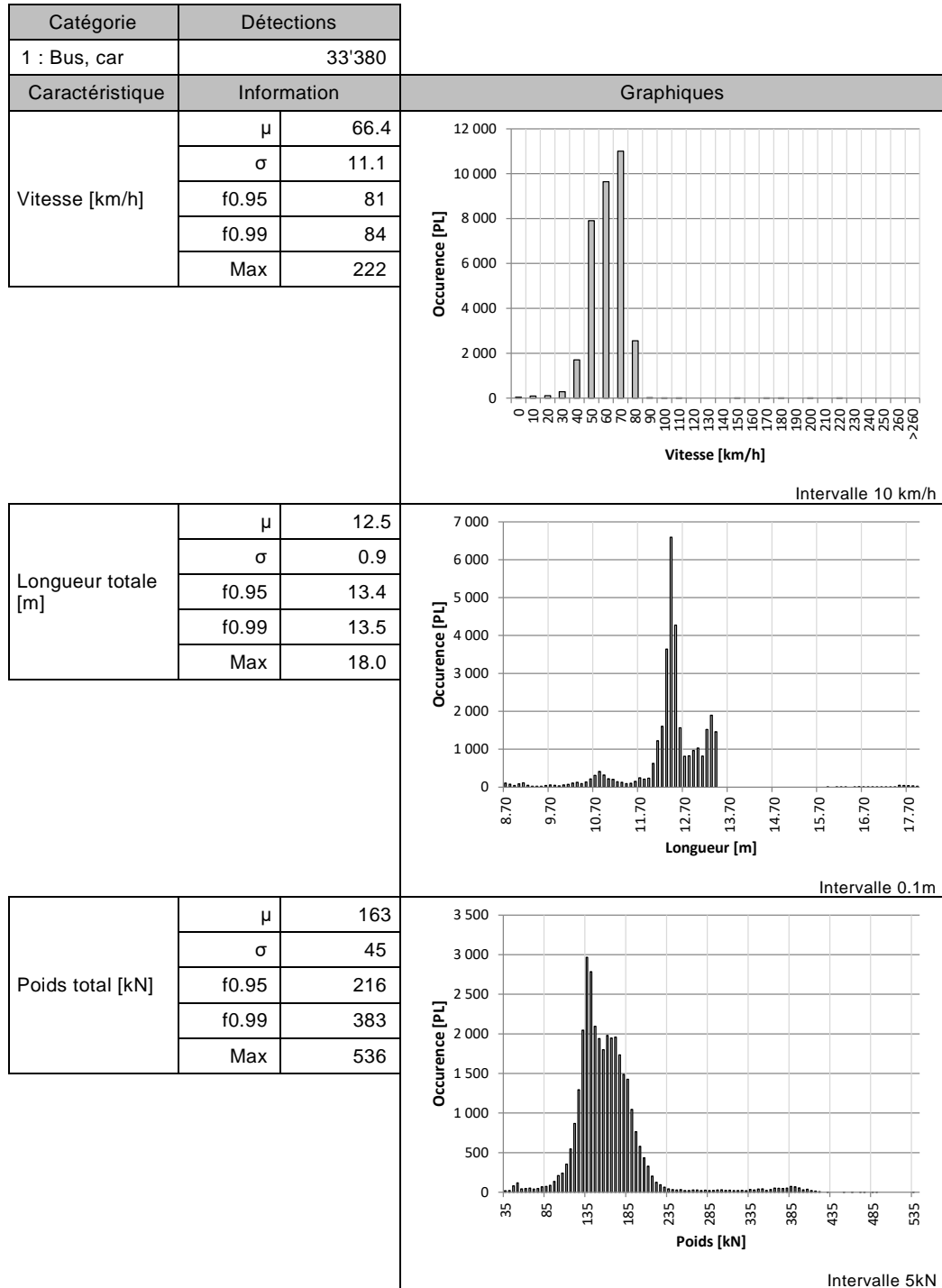
4.6 Tendence pour l'estimation du taux d'accroissement annuel

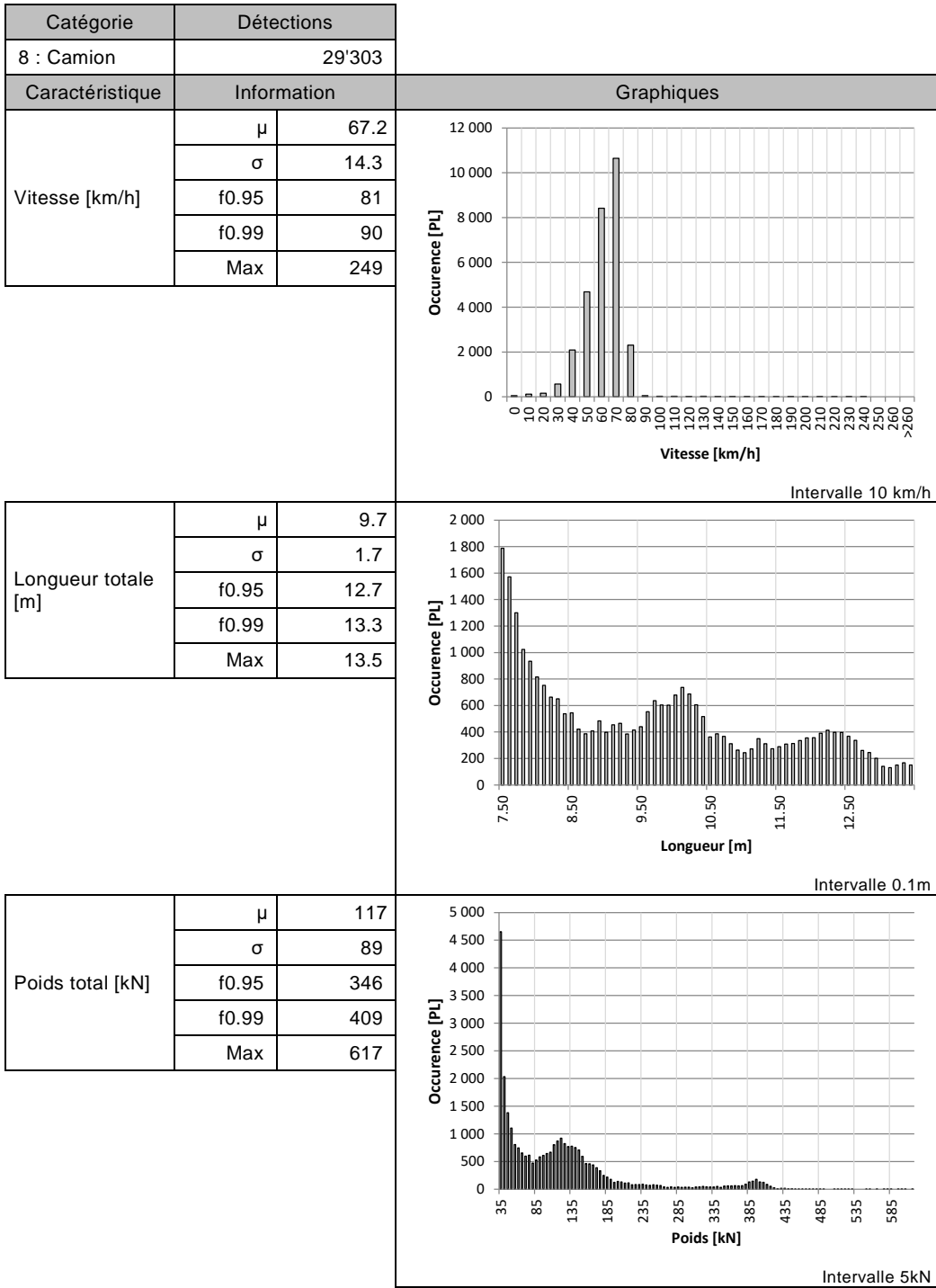
Tendance pour l'estimation du taux d'accroissement annuel		
Direction 1 : Coire	Direction 2 : Bellinzone	Sur la base de :
-1.2%	-0.6%	Nombre de détections
-1.8%	-0.7%	Masse totale
-3.8%	0.1%	Trafic pondéral équivalent total W

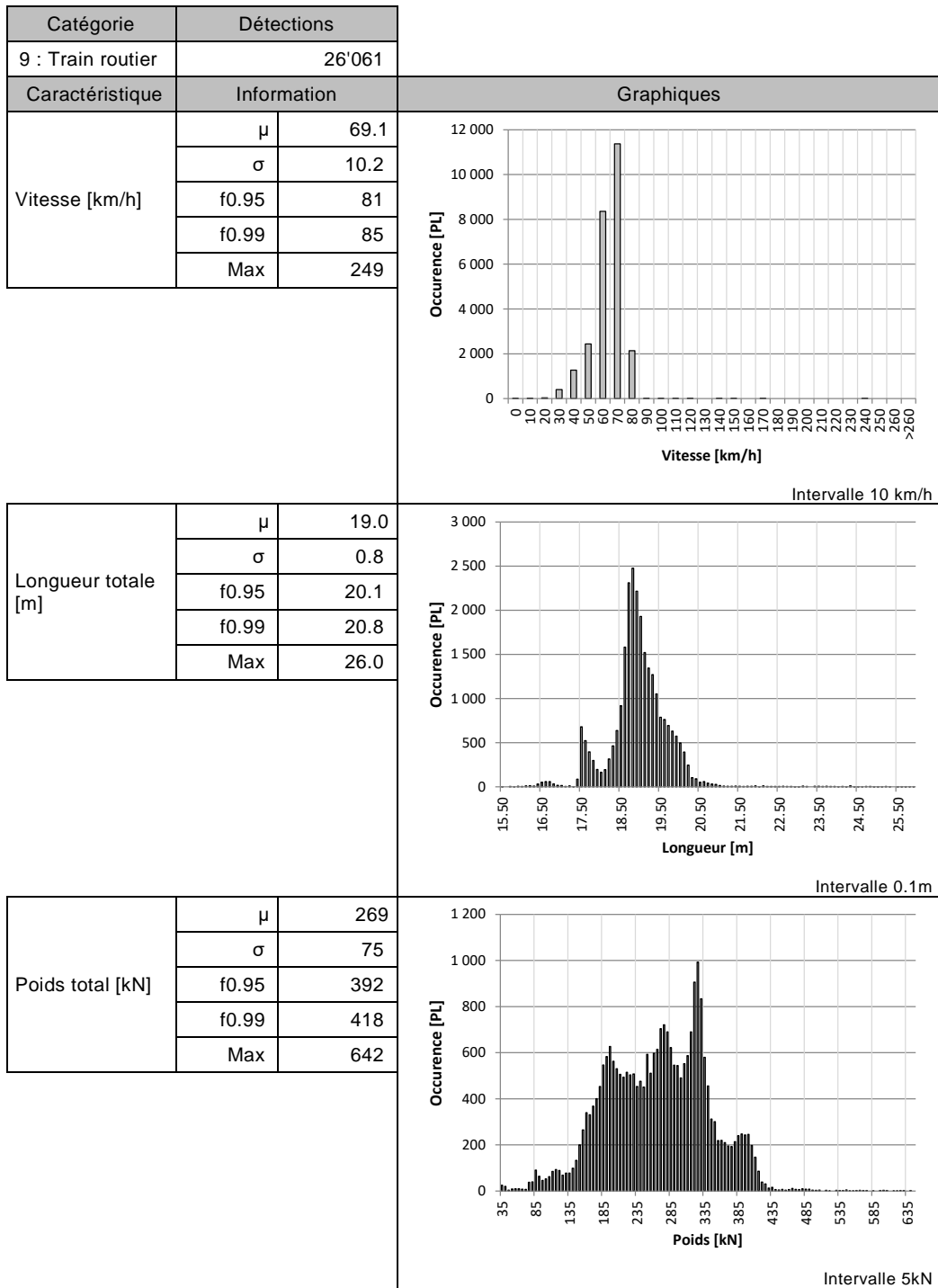
Cette section est déterminée sur la base des rapports annuels de 2015 à 2017.

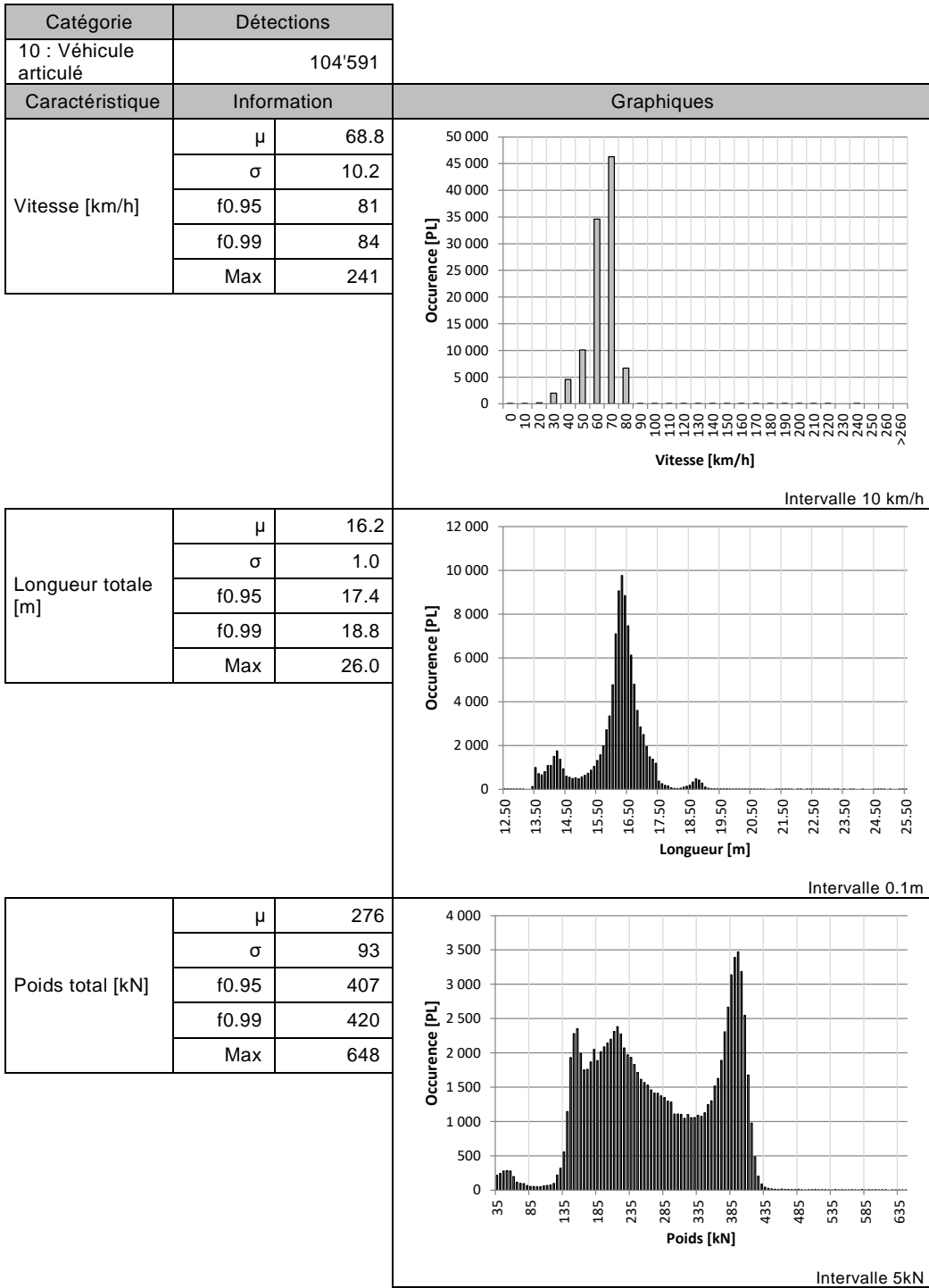
5 Caractéristiques des poids lourds

5.1 Caractéristiques des catégories de poids lourds



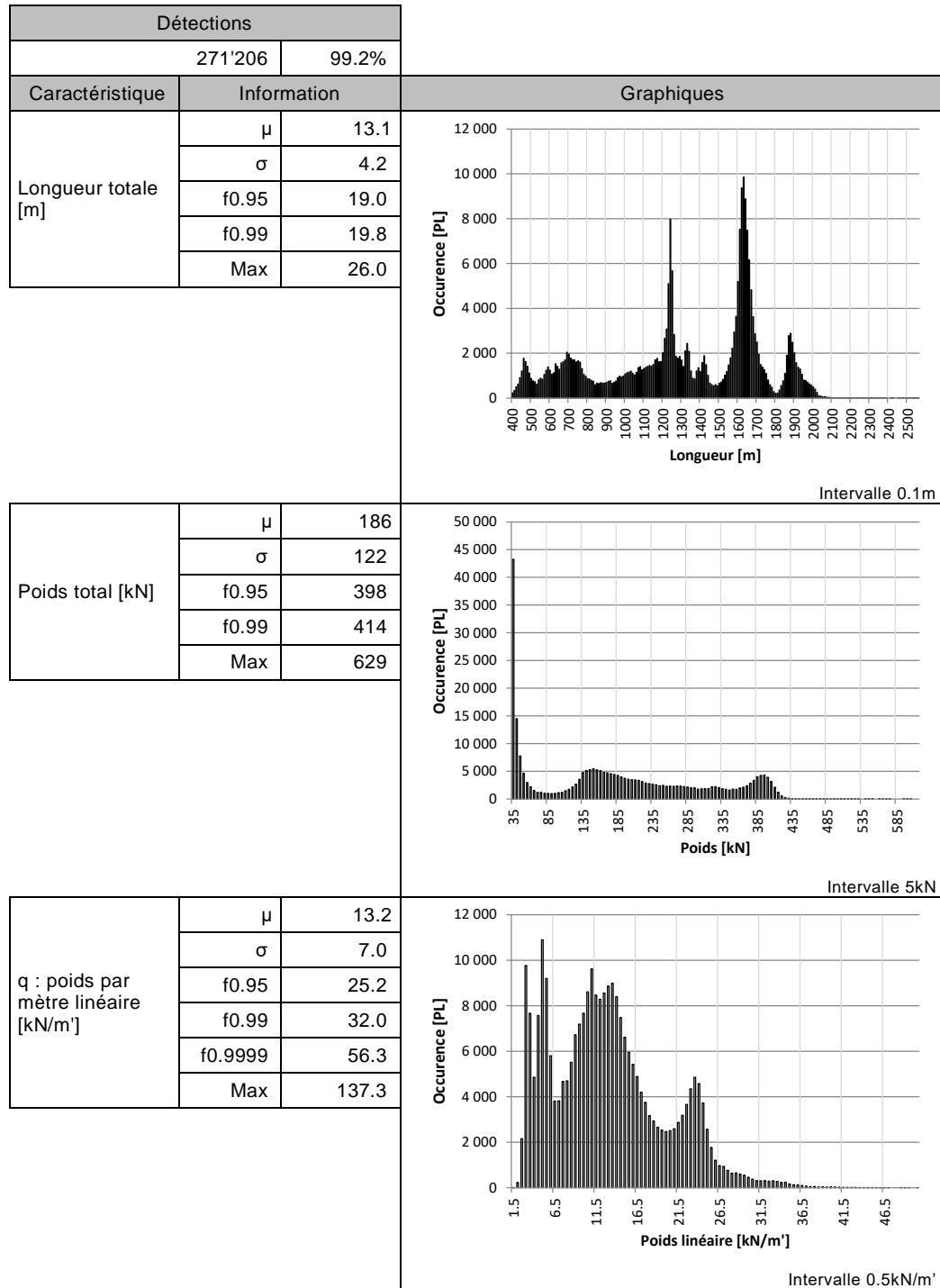


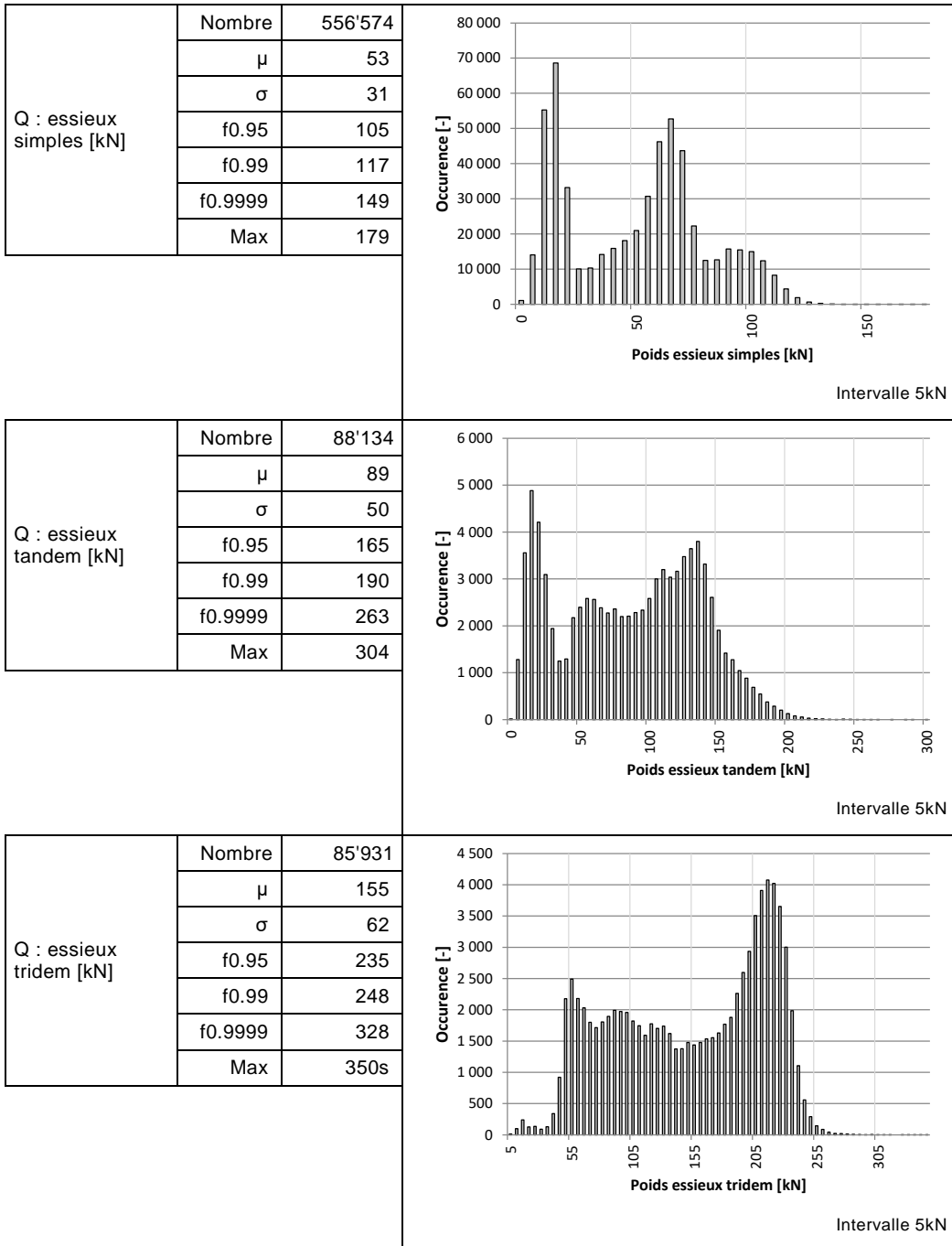




5.2 Caractéristiques globales de l'échantillon

Sur la base des silhouettes de 2 à 6 axes détectées.



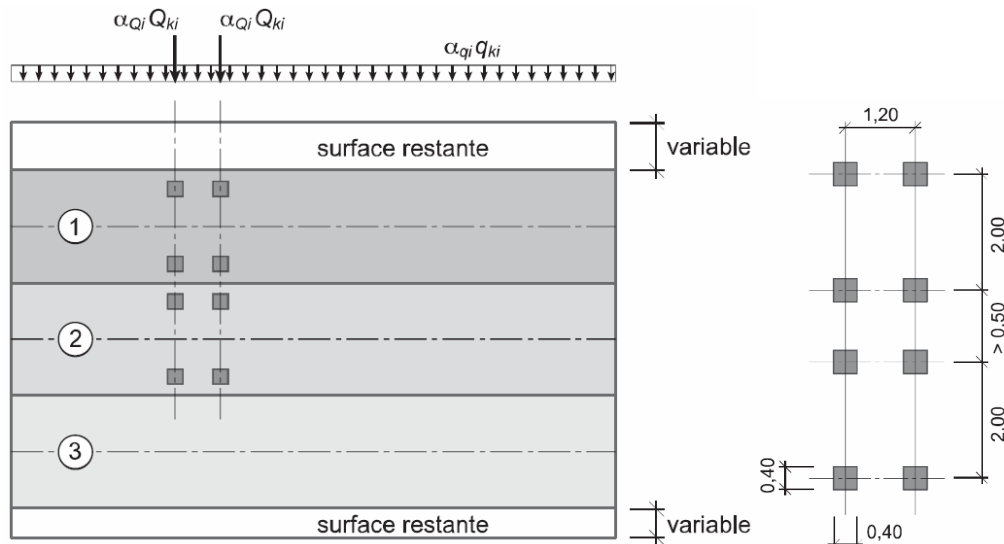


6 Modèle selon norme SIA 261

Document de référence : [3]

Les données considérées sont celles des silhouettes détectées de 2 à 6 axes, soit 99.2% de l'échantillon total.

6.1 Modèle de charge 1 selon SIA 261



- ① voie de circulation fictive $Q_{k1} = 300 \text{ kN}$ $q_{k1} = 9,0 \text{ kN/m}^2$
- ② voie de circulation fictive $Q_{k2} = 200 \text{ kN}$ $q_{k2} = 2,5 \text{ kN/m}^2$
- ③ voie de circulation fictive $q_{k3} = 2,5 \text{ kN/m}^2$
- surface restante $q_{kr} = 2,5 \text{ kN/m}^2$

6.1.1 Charge concentrée Q

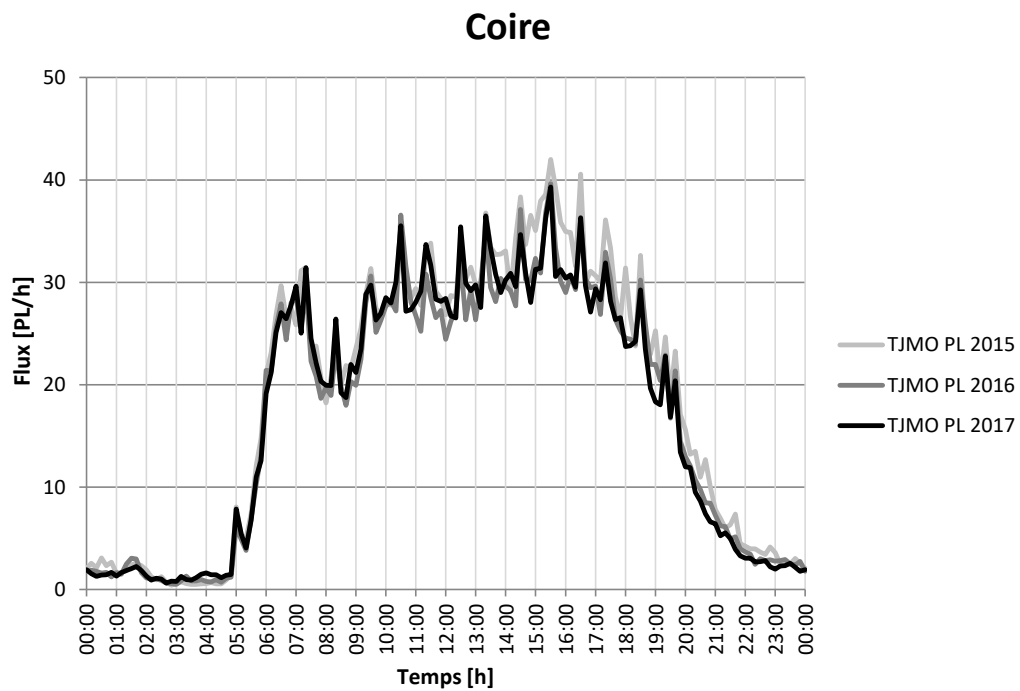
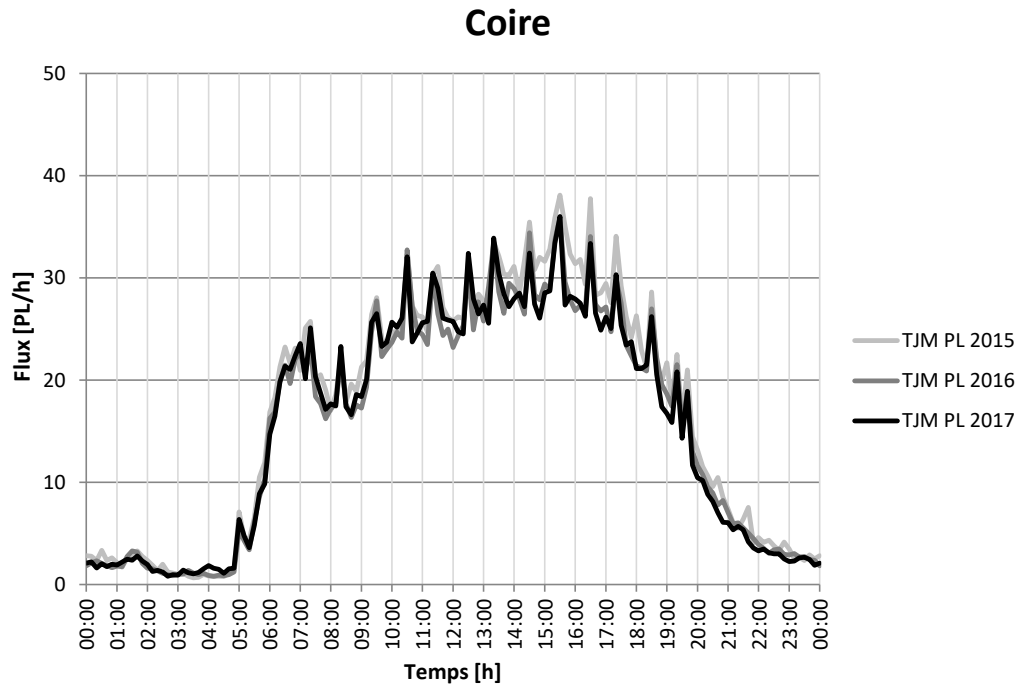
Charge concentrée Q					
Type d'essieu	Charge moy. [kN]	Charge moy. par axe [kN]	f0.95 [kN] (par axe)	f0.99 [kN] (par axe)	f0.9999 [kN] (par axe)
Simple	53	53	105	117	149
Tandem	89	45	165 (83)	190 (95)	263 (131)
Tridem	155	52	235 (78)	248 (83)	328 (109)

6.1.2 Charge répartie q

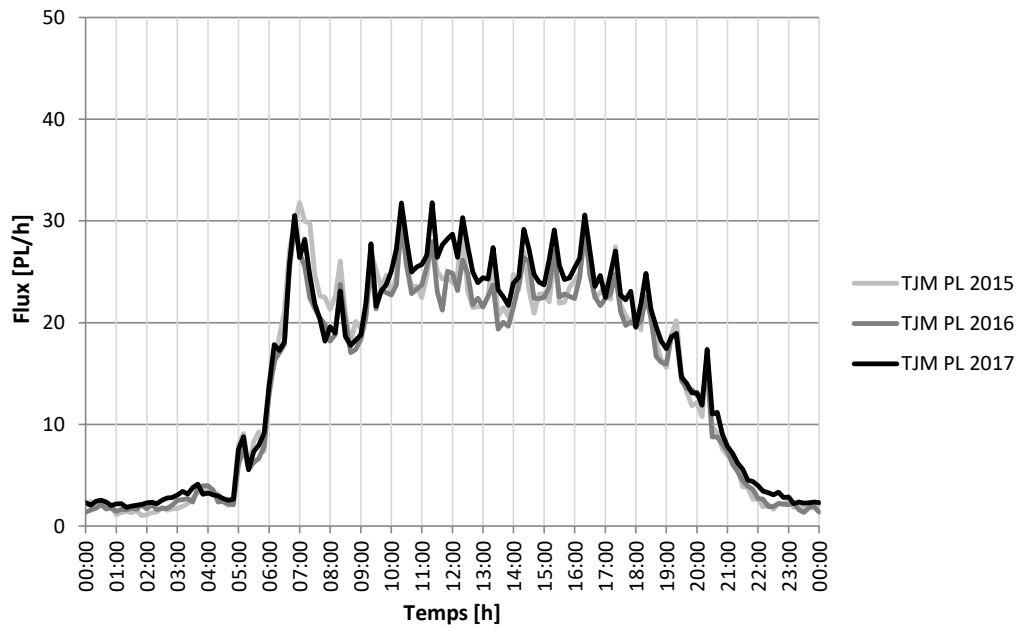
Charge répartie q				
Caractéristique	Charge moy.	f0.95	f0.99	f0.9999
Poids par mètre linéaire [kN/m']	13.2	25.2	32.0	56.3
Poids par surface (largeur 3 m) [kN/m²]	4.4	8.4	10.7	18.8

7 Tendances

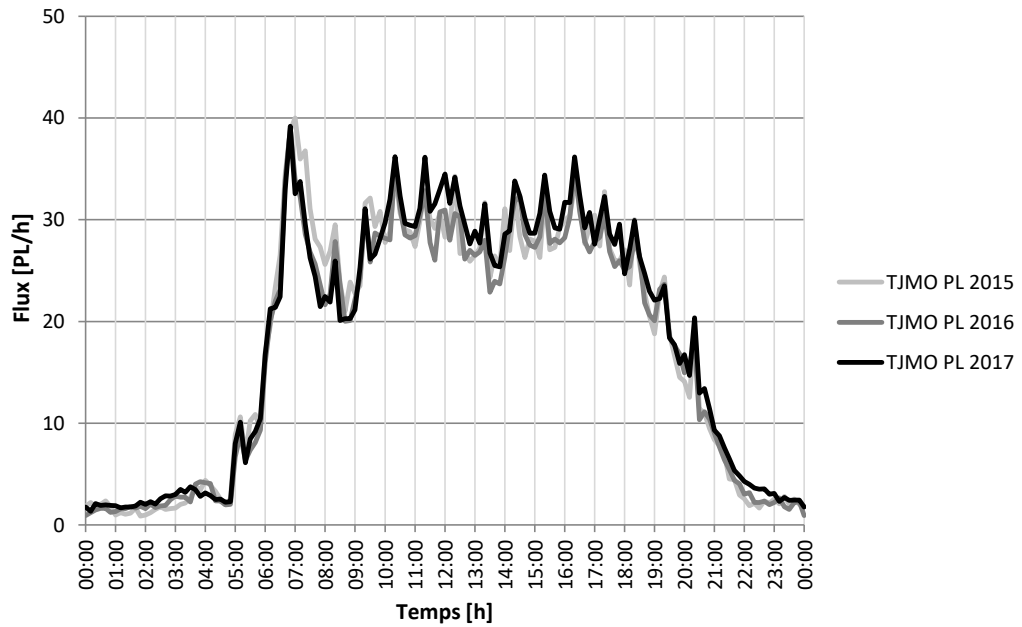
7.1 Evolution de la répartition horaire annuelle



Bellinzone

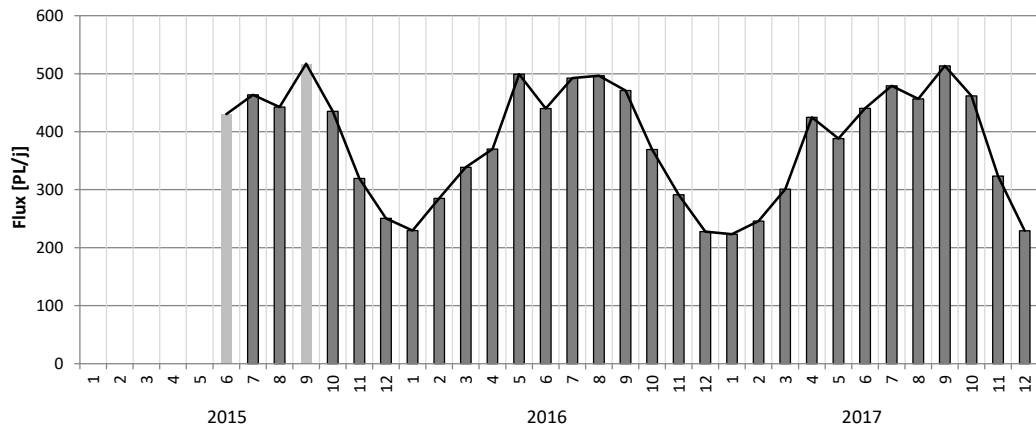


Bellinzone

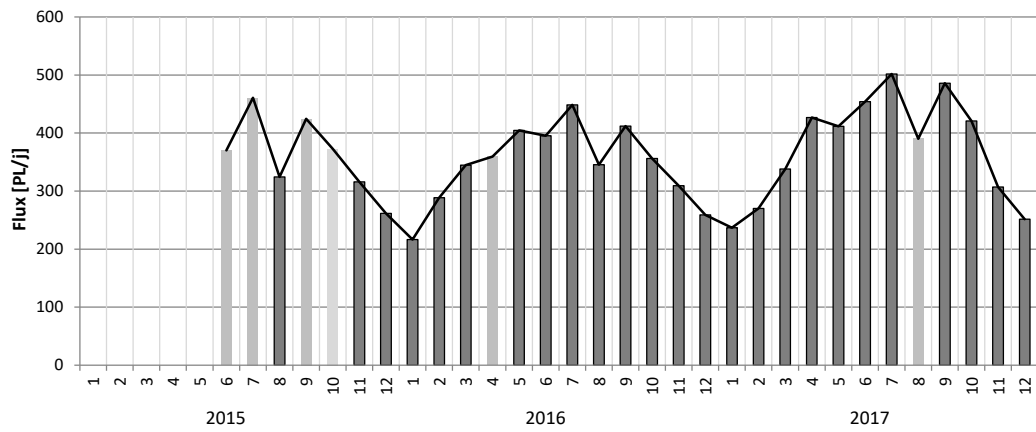


7.2 Evolution de la détection par mois

Coire



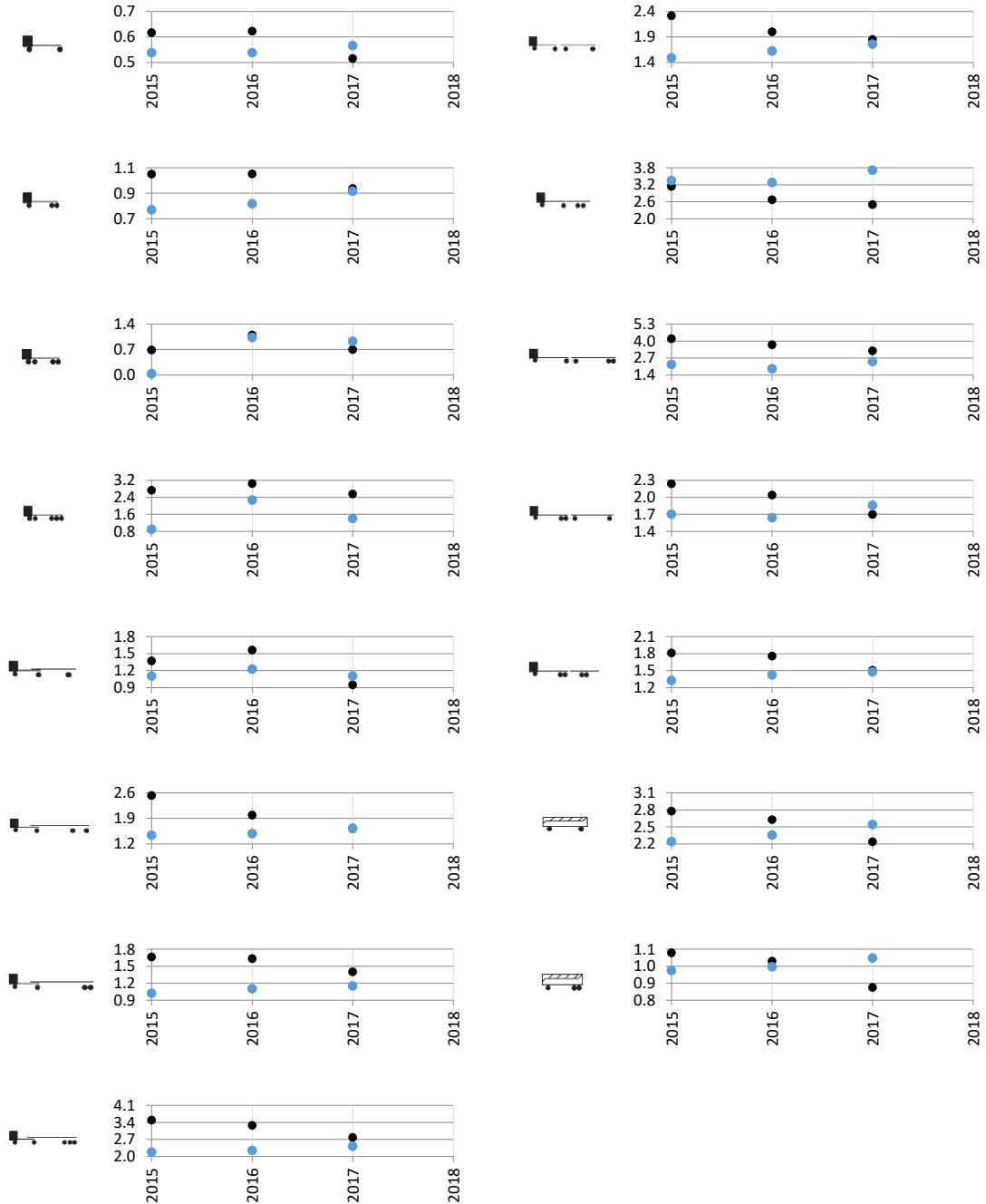
Bellinzone



7.3 Evolution du modèle de la norme SN 640 320

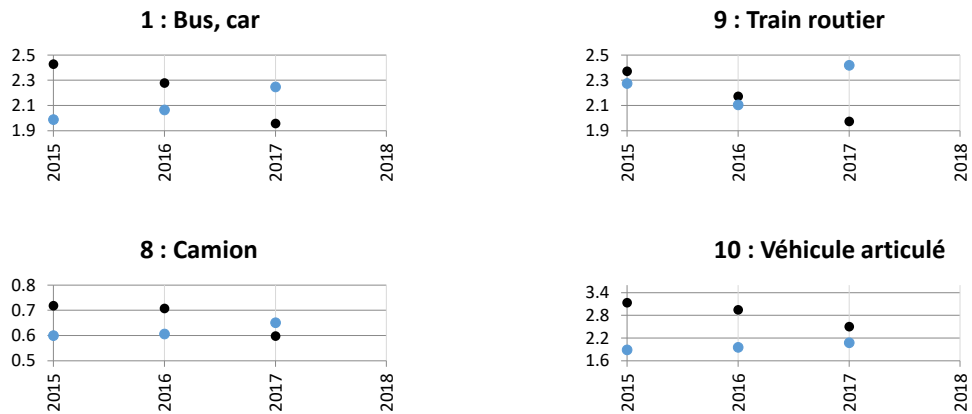
Sont considérées dans ce chapitre uniquement les chaussées souples et semi-rigides.

7.3.1 Evolution des facteurs d'équivalence par classes de véhicules



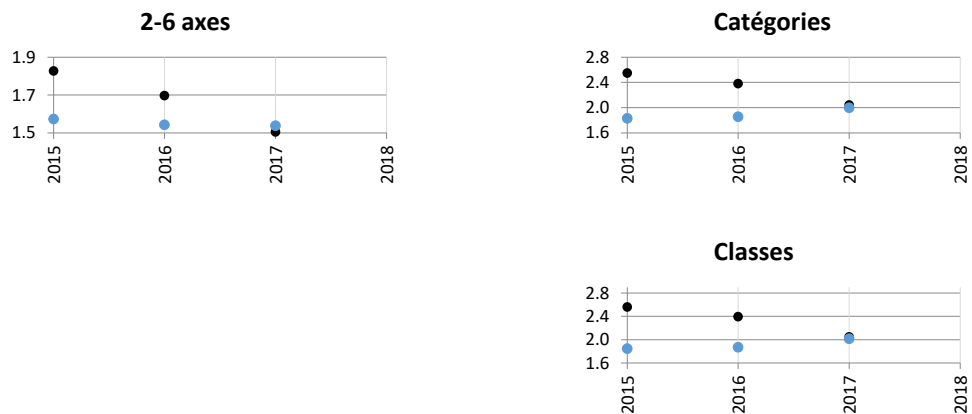
Noir : Direction Coire ; Bleu : Direction Bellinzone.

7.3.2 Evolution des facteurs d'équivalence par catégories de véhicules



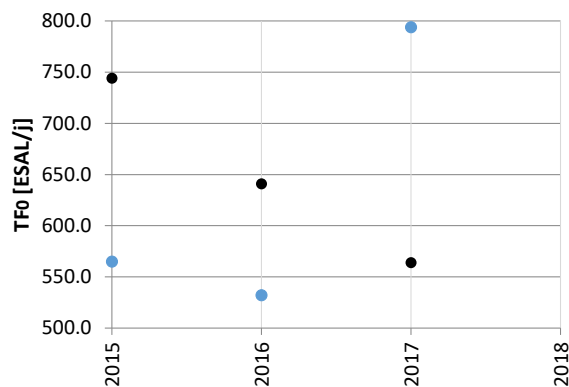
Noir : Direction Coire ; Bleu : Direction Bellinzona.

7.3.3 Evolution du facteur d'équivalence moyen



Noir : Direction Coire ; Bleu : Direction Bellinzona.

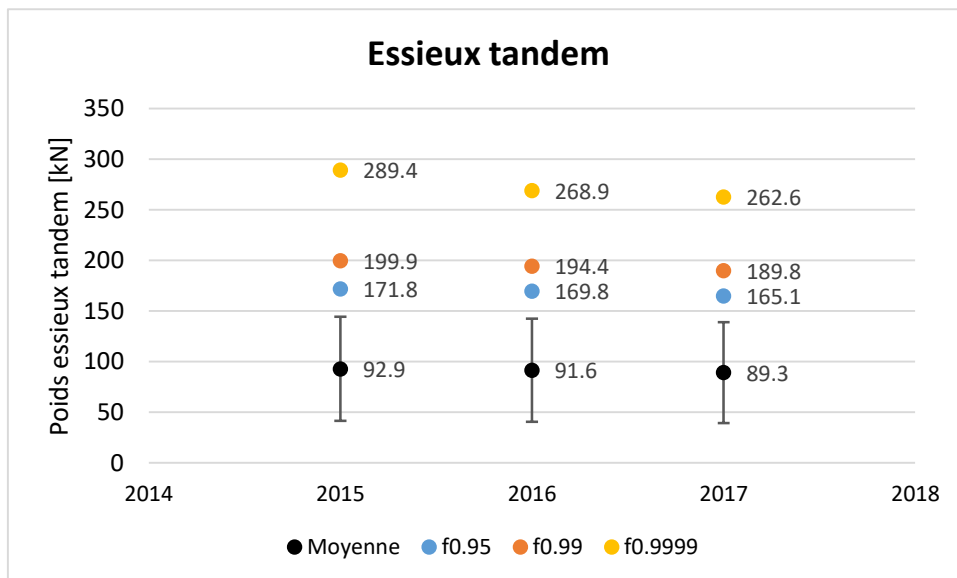
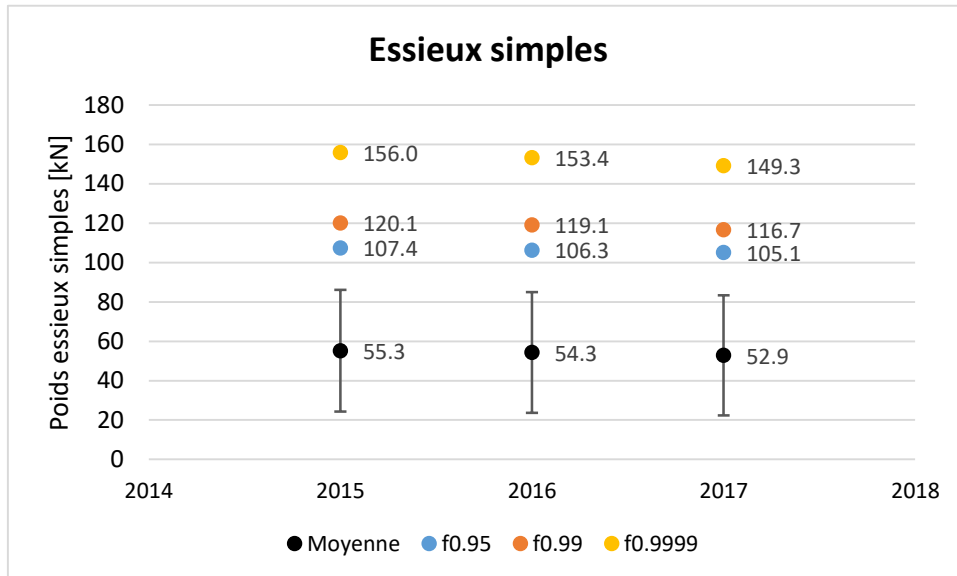
7.3.4 Evolution du trafic pondéral équivalent journalier

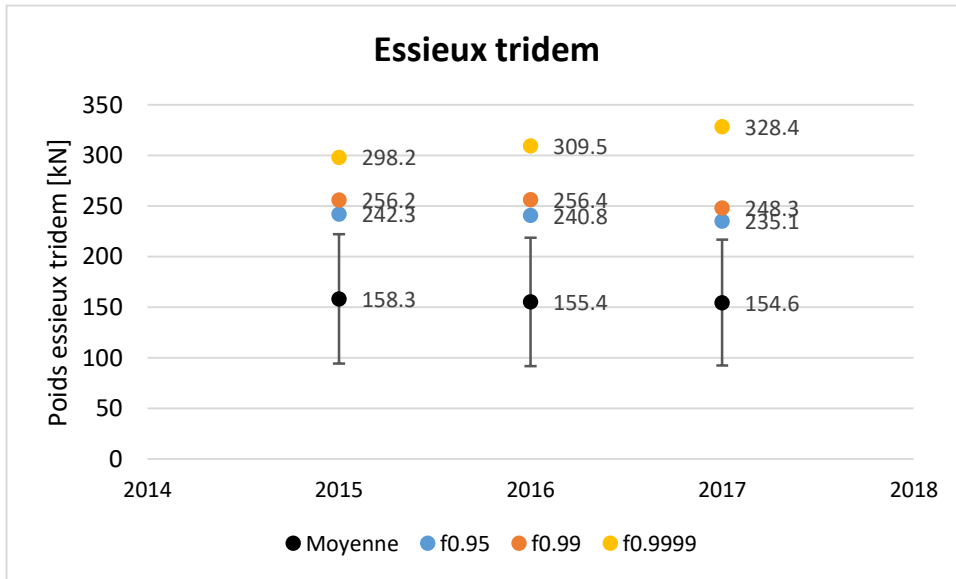


Noir : Direction Coire ; Bleu : Direction Bellinzona.

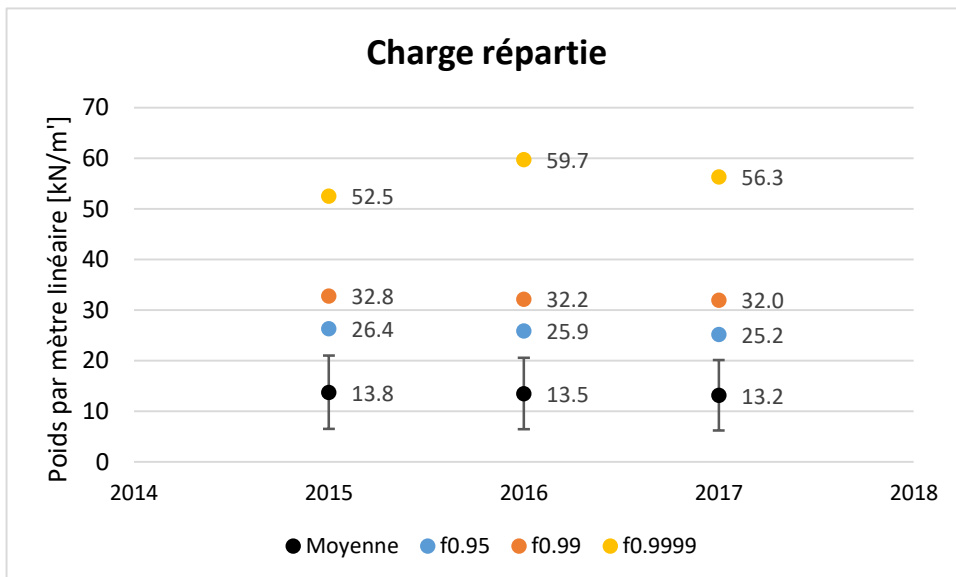
7.4 Evolution du modèle de la norme SIA 261

7.4.1 Evolution des quantiles de la charge concentrée Q





7.4.2 Evolution des quantiles de la charge répartie q



8 Niveau de confiance

Documents de référence : [4] [6]

Niveaux de confiance selon [6], valeurs absolues		
Niveau de confiance	Variation maximale sur les charges	Variation sur les facteurs d'équivalence
Très bon	0.8%	3%
Bon	2.0%	8%
Satisfaisant	3.2%	13%
Mauvais	> 3.2%	> 13%

Niveau de confiance		
Propriétés	Commentaire	Code couleur
Date de la dernière calibration :	Direction Coire : 14.09.2016 Direction Bellinzone : 14.09.2016	Vert
Facteurs de corrections relevés :	Direction Coire : -1.07% Direction Bellinzone : -7.09%	Rouge
Application du facteur de correction :	Direction Coire : Non Direction Bellinzone : Oui	Vert clair
Niveau de confiance à la calibration :	Direction Coire : Bon Direction Bellinzone : Bon	Vert clair
Données pouvant être utilisées pour référence :	Direction Coire : Fin 2016 – 2017 Direction Bellinzone : Fin 2016 – 2017	Vert clair
Constations sur la base du traitement des données WIM		
Pertes de données :	~ 0 / 1 jour	Vert
Exclusions :	3.57%	Jaune
Cohérence globale des valeurs :	En ordre	Vert
Cohérence des tendances de la station :	En ordre	Vert
Classification SWISS10, VT ≥ 3.5 to :	29.3%	Rouge
Silhouettes incohérentes :	34.4% dont 32.9% potentiellement dus à la classification SWISS10 1.5% d'autres incohérences	Rouge
Propositions		
La confiance dans les données de la station est bonne. Toutefois, la précision de la classification SWISS10 ne semble pas suffisante. Une vérification selon les valeurs de précision requises dans [4] est conseillée.		

Légendes des codes couleurs		
Code couleur	Légendes	
	Calibration	Données et cohérence
Vert	1 an	Très bon
Vert clair	2-3 ans	Bon
Jaune	4-5 ans	Satisfaisant
Rouge	> 5 ans	Mauvais

Bibliographie

Normes

- [1] Association suisse des professionnels de la route et des transports VSS (Août 2011), « **Dimensionnement de la structure des chaussées – Trafic pondéral équivalent** », SN 640 320.
- [2] Association suisse des professionnels de la route et des transports VSS (Août 2011), « **Dimensionnement de la structure des chaussées – Sol de fondation et chaussée** », SN 640 324.
- [3] Société suisse des ingénieurs et architectes SIA (2014), « **Actions sur les structures porteuses** », Norme SIA 261:2014.

Directives

- [4] Office fédéral des routes OFROU (2009), « **Postes de comptage du trafic** », directive ASTRA 13012, édition 2009 V1.05.

Documentation

- [5] M.-A. Fénart, Prof. A.-G. Dumont (LAVOC-EPFL), L. D'Angelo, Prof. A. Nussbamer (ICOM-EPFL) (2017) « **Simulations de trafic intégrant la détermination d'indices de performance structurale. Partie 1 : Trafic** », Office fédéral des routes OFROU, *Projet de recherche AGB 2010/003, Rapport n° 685*.
 - [6] M.-A. Fénart, M. Ould-Henia, M. Delaby (2017) « **Actualisation des facteurs d'équivalence de la norme SN640320** », Office fédéral des routes OFROU, *Projet de recherche VSS 2015/411, Rapport n° 1606*.
 - [7] M.-A. Fénart (2013) « **Modélisations de trafic – Denges (VD) – Ceneri (TI)** », *Technical report EPFL dans le cadre du projet de recherche AGB 2011/003 « Aktualisierte Bremskräfte zur Überprüfung von Strassenbrücken »*, LAVOC – EPFL.
 - [8] Bressi S., Fürbringer J.-M., Fénart M.-A., Dumont A.-G. (LAVOC / SB-SPH, EPFL) (2014) « **Global Sensitivity Analysis and Monte Carlo Analysis of Swiss design method applied to flexible pavements** », *Conférence EATA 2015*, Stockholm, Suède.
 - [9] J. Martins, M.-A. Fénart, G. Feltrin, A.-G. Dumont, K. Beyer (2015) « **Defining a braking probability to estimate extreme braking forces on road bridges** », *Conférence ICASP12 2015*, Vancouver, Canada.
 - [10] J. Martins, M.-A. Fénart, G. Feltrin, A.-G. Dumont, K. Beyer (2014) « **Deriving a load model for braking forces on road bridges: Comparison between a deterministic and a probabilistic approach** », *Istanbul Bridge Conference*, Istanbul, Turquie.
 - [11] L. D'Angelo, Prof. A. Nussbaumer, M.-A. Fénart, Prof. A.-G. Dumont (2013) « **Fatigue life assessment of existing motorway bridge** », *SEMC 2013*, Afrique du Sud.
 - [12] AASHTO (1986 - 1998), « **AASHTO Guide for Design of Pavement Structures** », American Association of State Highway and Transportation Officials.
-